

# Свойства нитевидных кристаллов ZnO, полученных под действием излучения CO<sub>2</sub>-лазера

© П.С. Шкумбатюк

Дрогобычский государственный педагогический университет им. И. Франко,  
82100 Дрогобыч, Украина

(Получена 15 сентября 2009 г. Принята к печати 25 января 2010 г.)

Методом непрерывного действия CO<sub>2</sub>-лазерного излучения получены монокристаллические нити ZnO в виде игл длиной 0,3–0,8 мм, диаметром 1–10 мкм, с удельным сопротивлением  $3 \cdot 10^2$ –1 Ом · см. В нитях наблюдали слабую электролюминесценцию, обусловленную инжекцией из контактов, с участием собственных дефектов, влияющих на распределение электрического поля.

## 1. Введение

Оксид цинка в виде моно- и поликристаллического материала используется в электронной технике. В последнее время ZnO исследуют с точки зрения применения в оптоэлектронике. Среди известных технологий [1–3] получения кристаллического ZnO большое распространение имеет технология с использованием импульсного лазерного излучения (ИЛИ). Для получения кристаллического материала импульсным лазерным излучением распыляется ZnO в виде порошка или Zn в газовой среде, содержащей кислород. Используемая технология дает возможность получать ZnO в виде отдельных кристаллов малых размеров и поликристаллических пленок на подложках Si, Al<sub>2</sub>O<sub>3</sub> и др. Второй вариант имеет преимущество в управлении электрофизическими свойствами ZnO.

Известно много работ [4–6] по применению ИЛИ для получения кристаллов ZnO малых размеров, поликристаллических пленок и по исследованию их свойств. В этих работах основное внимание уделено поискам методов управляемого изменения электрических свойств. Электрические свойства получаемого ZnO преимущественно *n*-типа проводимости контролируются собственными дефектами [7].

Особой задачей является поиск методов получения качественного ZnO *p*-типа проводимости с использованием технологии ИЛИ с целью формирования барьерных структур. В работе [8] приведены электрофизические свойства ZnO *p*-типа проводимости с концентрацией дырок  $10^{15}$ – $10^{17}$  см<sup>-3</sup>. Необходимо отметить, что нет ответа на вопрос о возможности получения качественного ZnO *p*-типа проводимости с концентрацией дырок  $10^{18}$ – $10^{20}$  см<sup>-3</sup> [9]. Применительно к используемой технологии получения кристаллического ZnO этот вариант не исследован. Недостаточно изучены влияние собственных дефектов и известных легирующих примесей на электрофизические свойства ZnO.

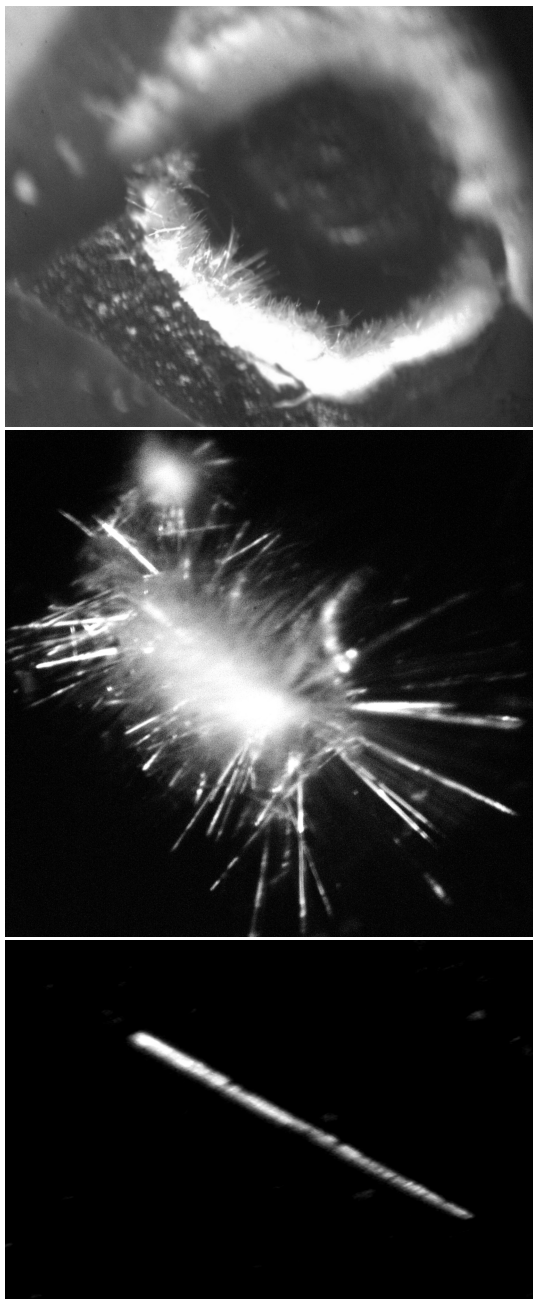
Для продолжения поиска методов получения кристаллического ZnO с применением лазерного излучения в данной работе использован непрерывный CO<sub>2</sub>-лазер. Согласно существующей практике, не учитывая коэффициент поглощения и механизм взаимодействия, действие мощного непрерывного CO<sub>2</sub>-лазерного излучения

используют для нагревания облучаемых материалов [10]. При этом предполагается, что существенного различия в действии на ZnO импульсного и непрерывного лазерного излучения нет, за исключением управления временной зависимостью температуры нагревания.

## 2. Получение кристаллического ZnO

Для получения кристаллического материала на Si-подложку размером 25–50 мм<sup>2</sup> помещали некоторое количество ZnO в виде порошка, что соответствует толщине слоя 2–4 мм в области облучения. Облучение ZnO проводили при комнатной температуре на воздухе непрерывным действием излучения CO<sub>2</sub>-лазера ЛГН-703 с плотностью мощности 600–800 Вт/см<sup>2</sup>, визуально контролируя процесс испарения. Время действия облучения определяли экспериментальным путем, среднее время составляло 40–90 с. Для управления плотностью мощности излучения использовали сферическое алюминированное зеркало с фокусным расстоянием 150 мм. Плотность мощности излучения определяли по разности диаметров исходного и сфокусированного лучей. Стабилизацию мощности излучения осуществляли за счет прогрева CO<sub>2</sub>-лазера на протяжении  $t = 0.5$ –1 ч. Необходимо отметить, что геометрические размеры, требуемые тип и величина проводимости, состояние поверхности подложки являются параметрами, определяющими температуру процесса получения материала. Время действия облучения является определяющим параметром при получении кристаллического материала; изменения длительность процесса, можно управлять свойствами получаемого ZnO.

Рассмотрим последовательность процесса получения кристаллического ZnO (рис. 1). Общий процесс разделим на три составные части. На первом промежутке времени действия излучения в зоне облучения происходит нагревание подложки и уплотнение исходного порошкообразного ZnO включая испарение и передачу тепла подложке. Установить границы области разогрева подложки визуально невозможно из-за фонового излучения ZnO. Если прервать облучение на первом этапе в определенное время, то в зоне облучения можно получить на некоторых участках большую концентрацию образований ZnO нитевидной формы белого цвета



**Рис. 1.** Формирование монокристаллических нитей ZnO: *a* — фотография Si-ZnO после действия излучения CO<sub>2</sub>-лазера; *b* — отдельный участок роста нитей ZnO на границе области действия излучения, *c* — кристалл ZnO игольчатой формы с включениями.

высотой до 1 мкм. Поверхность, из которой растет ZnO нитевидной формы, имеет белый цвет.

На втором этапе происходит частичное образование и взаимодействие с подложкой поликристаллического ZnO. Поверхностное проплавление подложки с образованием частиц Si сферической формы обусловлено генерацией дислокаций. Механизм выхода некоторых частиц из зоны облучения не исследован. На границе

*a*

облучаемой поверхности зарождаются скопления ZnO белого цвета, из которых образуются монокристаллические нити игольчатой формы. Скопления ZnO формируются в процессе испарения ZnO. Механизм зарождения в скоплениях ZnO центров, из которых образуются монокристаллические нити игольчатой формы, не исследован. Начальные зародыши монокристаллических нитей покрыты порошкообразным ZnO.

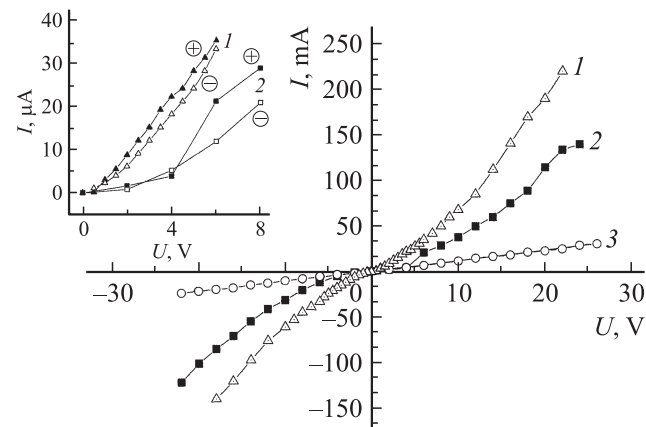
*b*

На следующем промежутке времени облучения происходит рост монокристаллических нитей (рис. 1, *b*). Соотношение между толщиной и длиной нитей зависит от условий облучения. В зависимости от времени облучения можно получить монокристаллические прозрачные одиночные нити длиной до 0.8 мм, толщиной в начальной части  $d_0 = 5-10$  мкм и в концевой части  $d_1 = 1-3$  мкм, они растут преимущественно по направлению лазерного луча. При длительном облучении можно получить нити длиной 0.4–0.6 мм и толщиной до 60 мкм. Предполагается, что они образуются вследствие сращивания тонких нитей. В некоторых нитях длиной 0.6–0.8 мм выявлены включения, проявляющиеся на рис. 1, *c* в виде темных колец. Концентрация включений зависит от времени действия излучения. Механизм их образования, структура и свойства не исследованы.

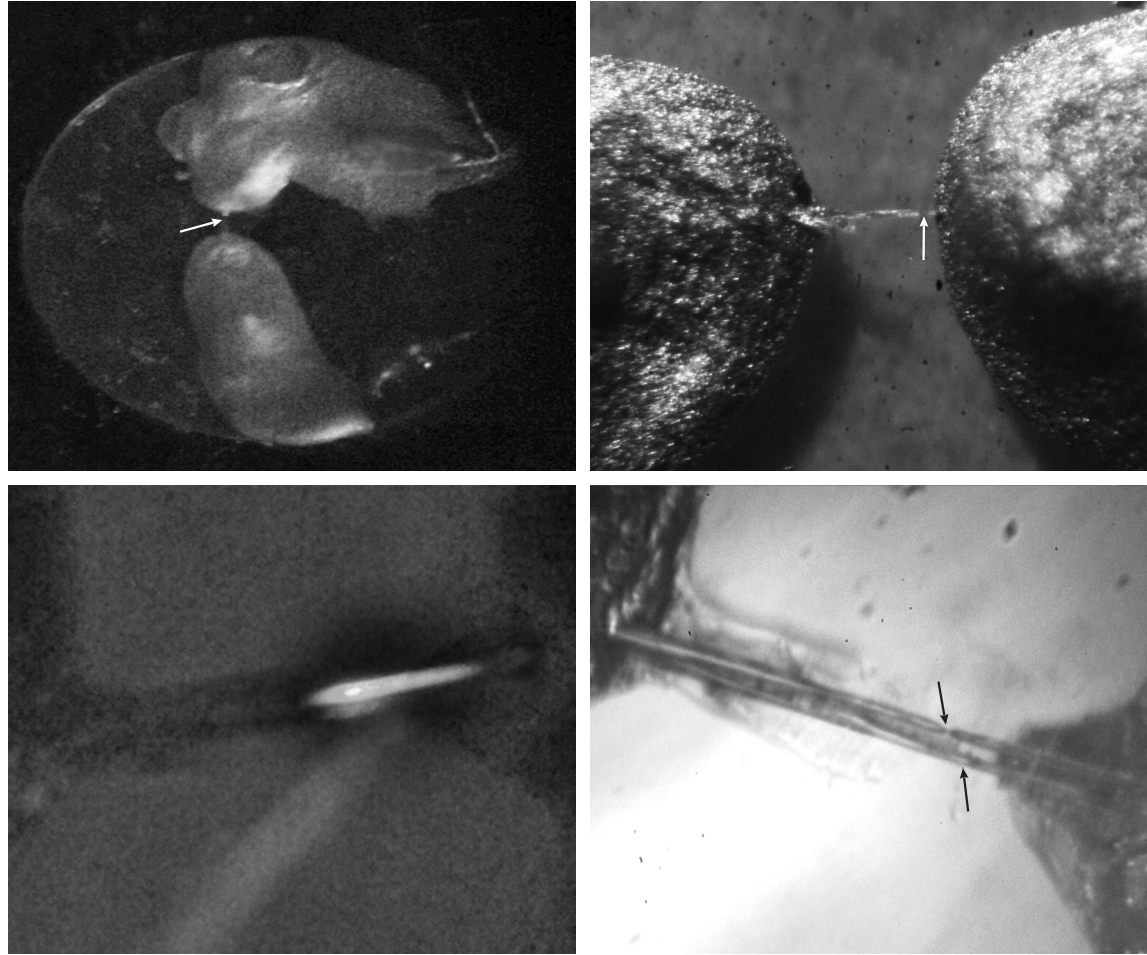
*c*

### 3. Свойства кристаллов

Исследована электропроводность полученных монокристаллических нитей ZnO. Измерение вольт-амперных характеристик (ВАХ) проводили при 300 К в атмосферных условиях или в вакууме. При подготовлении образцов для измерения использовали сапфировые подложки с контактными выводами. Образец ZnO помещали на подложку, для измерения электрических свойств использовали контакты из серебряной пасты (удельное сопротивление пасты 0.06 Ом·см, средний размер зерна 0.3 мкм). Формирование контактов проводили при



**Рис. 2.** ВАХ кристаллических нитей ZnO различной толщины.  $d_0$ , мкм: 1 — 8, 2 — 5, 3 — 1. На вставке — ВАХ 1, 2 в области малых смещений при положительном и отрицательном потенциалах на конце с  $d_1$ .



**Рис. 3.** Электролюминесценция и деградация (участки показаны стрелками) монокристаллических нитей ZnO.

100–130°C в атмосферных условиях на протяжении 5–15 с. В зависимости от толщины нитей их сопротивление изменялось: от 10<sup>8</sup> Ом для толщины 1 мкм до 10<sup>5</sup>–10<sup>4</sup> Ом для 5–7 мкм.

Электрические свойства кристаллического ZnO представлены на рис. 2. Согласно приведенным вольт-амперным характеристикам (ВАХ), при формировании ZnO под действием непрерывного лазерного излучения в данных технологических условиях не образуется барьевой структуры, которая имела бы область пространственного заряда. Для высокоомных образцов толщиной  $d_0 = 1\text{--}2$  мкм (кривая 3) наблюдается линейная ВАХ  $I = f(U)$ . Учитывая такой характер зависимости, можно исключить нелинейные свойства используемых контактов. ВАХ образцов с отношением  $d_0/d_1 = 3\text{--}4$  в прямом и обратном направлениях (кривые 1, 2) имеют нелинейную симметричную зависимость  $I = f(U)$ , обусловленную инжекцией [11]. Область насыщения тока монокристаллических нитей ZnO зависит от сопротивления, пропорционального  $d_0/d_1$  (рис. 2, кривые 1, 2). Несимметричная зависимость  $I = f(U)$  в начальной части ВАХ (см. вставку) указывает на влияние структурных дефектов в области  $d_1$ . С учетом линейности ВАХ

образцов толщиной  $d_0 = 1\text{--}2$  мкм инжекция носителей заряда в образцах с большими  $d_0$ ,  $d_1$  может быть объяснена структурными свойствами, формирующимися при росте кристаллического ZnO.

В дополнение к ВАХ рассмотрим электролюминесценцию нитевидных кристаллов ZnO с  $d_0/d_1 = 3\text{--}4$  (рис. 3). Начальная (пороговая) плотность тока свечения составляла  $(0.8\text{--}5) \cdot 10^4$  А/см<sup>2</sup>. При установлении начального значения плотности тока свечения происходит самопроизвольное увеличение тока и изменение спектрального состава электролюминесценции. Положение области высвечивания зависит от  $d_0/d_1$  и полярности напряжения. При отрицательном потенциале на  $d_1$  и увеличении  $d_0/d_1$  область свечения перемещается к положительному контакту. Яркость электролюминесценции недостаточна для исследования спектрального состава. При стабилизации начального значения плотности тока наблюдается синий и зеленый цвет, время непрерывного высвечивания составляет 20–60 мин. На рис. 3 показана деградация электролюминесценции в виде разрыва нити свечения. Последовательный анализ показал, что при свечении в активной области происходит испарение материала. Для двух сращиваемых

нитей яркость электролюминесценции увеличивается, в области испарения спектральный состав уширяется.

Анализ наблюдаемых свойств свечения указывает на предпробойную электролюминесценцию [12]. Созданию высокоэнергетических электронов способствует инжекция носителей заряда с образованием неоднородного распределения и проникновения электрического поля в объем за счет дефектной области на конце с  $d_1$ , при этом существенно влияние  $d_0/d_1$ . Изменение спектрального состава электролюминесценции в процессе свечения обусловлено изменением его механизма.

#### 4. Заключение

Методом испарения порошка ZnO на кремниевой подложке непрерывным действием CO<sub>2</sub>-лазерного излучения получены монокристаллические нити ZnO игольчатой формы с размерами по длине 0.3–0.8 мм и толщине 1–10 мкм. Наблюдается слабая электролюминесценция в определенной части нити, возникающая вследствие инжекции носителей заряда, что подтверждается результатами измерения ВАХ.

Согласно ВАХ и электролюминесценции, пространственное распределение собственных дефектов в полученном структурном ZnO неоднородно. Неоднородное распределение собственных дефектов обусловлено градиентом температур в зоне роста кристаллического ZnO.

#### Список литературы

- [1] W.C.T. Lee, M. Henseler, P. Miller, C.H. Swartz, T.H. Myers, R.J. Reeves, S.M. Durbin. J. Electron. Mater., **35**, (6), 1316 (2006).
- [2] Y. Chen, D. Bagnall, T. Yao. Mater. Sci. Eng. B, **75**, 190 (2000).
- [3] Z. Zhaochun, H. Baibiao, Y. Yongqin, C. Deliang. Mater. Sci. Eng. B, **86**, 109 (2001).
- [4] W.Y. Shim, K.A. Jeon, K.I. Lee, S.Y. Lee, M.H. Jung, W.Y. Lee. J. Electron. Mater., **35** (4), 635 (2006).
- [5] А.Н. Жерихин, А.И. Худобенко, Р.Т. Вилльямс, Дж. Вилькинсон, К.Б. Усер, Г. Хионг, В.В. Воронов. Квант. электрон., **33** (11), 975 (2003).
- [6] L. Han, F. Mei, C. Liu, C. Pedro, E. Alves. Physika E, **40**, 699 (2008).
- [7] F. Danie Auret, W.E. Meyer, P.J. Janse van Rensburg, M. Hayes, J.M. Nel, Holger von Wenckstern, H. Schmidt, G. Biehne, H. Hochmuth, M. Lorenz, M. Grundmann. Physica B, **401–402**, 378 (2007).
- [8] D.C. Look. J. Electron. Mater., **35** (6), 1299 (2006).
- [9] Ü. Özgür, Ya. Alivov, C. Liu, A. Teke, M.A. Reshchikov, S. Doğan, V. Avrutin, S.-J. Cho, H. Morkoç. J. Appl. Phys., **98**, 04301(2005).
- [10] Н.Б. Делоне. *Взаимодействие лазерного излучения с веществом* (М., Наука, 1989).
- [11] М. Ламперт, П. Марк. *Инжекционные токи в твердых телах* (М., Мир, 1973).
- [12] М.В. Фок. Тр. ФИАН, **138**, 183 (1983).

Редактор Л.В. Шаронова

#### Properties of wire ZnO crystals obtained under continuous CO<sub>2</sub>-laser irradiation

P.S. Shkymbatyuk

I. Franko Drogobych State Pedagogical University,  
82100 Drogobych, Ukraine

**Abstract** ZnO single crystal needle-like wires with 0.3–0.8 mm length, 1–10 μm diameters and specific resistance  $3 \cdot 10^3$ –1 Ω · cm were obtained under continuous CO<sub>2</sub>-laser irradiation. A weak electroluminescence of the wires was observed, which was conditioned by injection from the contact and in which own defects having an influence on the electric field distribution participated.